

# 传导电子的弱局域化现象

王世光

(北京大学物理系)

本文介绍了近年来固体物理领域的活跃课题之一——传导电子的弱局域化现象。弱局域化是传导电子在低温下的一种反常行为,如电阻随温度的下降而对数上升,负磁致电阻等。这种现象在二维系统(如半导体电子反演层或金属薄膜)中尤为明显。本文通过分析传导电子的干涉效应说明了弱局域化现象的物理本质,并着重介绍了二维(或准二维)系统的理论和实验结果。

## 一、传导电子干涉对电导的修正

传导电子的电导率主要由电子在漂移时所受的散射决定。因此,固体的电导  $\sigma_0$  可以表示为

$$\sigma_0 = ne^2\tau_{tr}/m^* = e^2k_F l/h, \quad (1)$$

这里  $n$ ,  $m^*$  分别为电子的浓度和有效质量,  $k_F$  为费米波数,  $\tau_{tr}$  为电子的输运弛豫时间,  $l = k_F\tau_{tr}$  为电子平均自由程,它取决于电子所经受杂质(包括晶格缺陷)散射、声子(晶格振动)散射及电子(库仑相互作用)散射的频率。

(1) 式的第二个等号仅对二维电子系统成立,这时  $n = k_F^2/2\pi$  为单位面积的电子数。在一般情况下,传导电子的屏蔽作用抵消了电子间的库仑相互作用,电子散射的贡献可以忽略不计。在室温下,晶格振动较强,声子的散射起着主要作用。由于杂质散射强度不随温度变化,而声子散射随着温度降低减弱,随着温度的降低前者的作用越来越重要。在低温下,电导率为常数,它的倒数称为剩余电阻。

上述观点是半经典的准粒子模型。它忽略了电子波的干涉作用,其依据为传导电子(准确的说是质量为  $m^*$ , 电荷为  $e$  的准粒子)在经历散射之后其状态与散射前无关。但是,我们应该区分弹性散射与非弹性散射。在弹性散射下,电子跃迁到同一能量本征态的另一动量本征态,因此其位相的改变是确定的;而非弹性散射

导致在不同本征态间的跃迁,这样电子将失去对原有位相的记忆<sup>[1]</sup>。在液氮温度下,金属膜中电子的弹性散射时间  $\tau_0 \sim 10^{-15}s$ , 而非弹性散射时间  $\tau_i \sim 10^{-10}s$ 。这就是说,在电子经历了  $10^5$  次散射时,考虑其干涉还是有意义的。这样一个电子作为波可能自固体中某点  $A$  出发经各种不同的路径到达另一点  $B$ 。当  $t < \tau_i$  时,在  $B$  点找到电子的几率为

$$\left| \sum_i A_i \right|^2 = \sum_i A_i^2 + \sum_{i \neq j} |A_i A_j^*|, \quad (2)$$

(2) 式第一项是经典电子的几率,第二项为干涉的贡献。幸运的是由于电子所历经的路径是

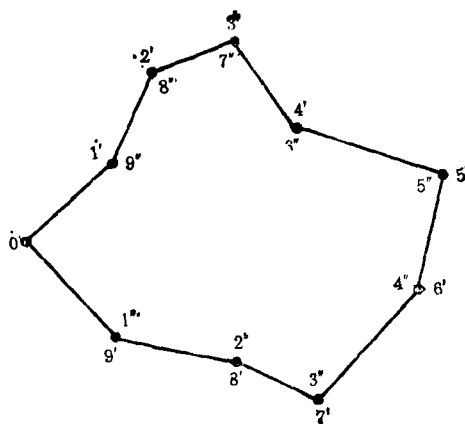


图1 电子沿时间反演对称的路径返回出发点的示意图  
不相关的,第二项可以忽略。这样看来上述模型还是适当的。

现在我们考虑传导电子的另一种干涉现象。电子在扩散中以一定的几率回到其出发点,

图 1 为一可能的路径. 电子可以经 1', 2', 3', ... 9' 返回原点, 而也以完全等同的几率经 1'', 2'', 3'', ... 9'' 返回原点. 如果电子所经历的散射为弹性的, 则这两条路径具有时间反演对称性, 因此电子波在到达原点时具有相同的振幅和相位,  $A' = A'' = A$ . 由此导致的几率为

$$|A' + A''|^2 = |A'|^2 + |A''|^2 + A'A''^* + A''A'^* = 4|A|^2, \quad (3)$$

其几率为不计及干涉时的两倍. 这表明在考虑了量子效应之后, 电子的漂移比半经典情况下要慢<sup>[4]</sup>. 如果一切扩散都是弹性的, 则固体的电导将消失. 这显然是不对的. 因为在某些路径中还存在非弹性散射, 所以电子沿不同路径回到原点时相位就不确定了. 这些路径对干涉项没有贡献. 也就是说, 如果在  $t = 0$  时电子从某点开始扩散, 干涉效应仅在  $t < \tau_1$  时存在. 因此上述的量子效应只对电导有很小的修正, 称之为弱局域化 (Weak Localization) 现象.

严格的结果可以通过求解费因曼图的最大交叉项而得<sup>[2,3]</sup>.

$$\sigma = \sigma_0 [1 - (1/\pi k_F l) \ln(\tau_1/\tau_0)] = \sigma_0 - \sigma_{00} \ln(\tau_1/\tau_0), \quad (4)$$

这里  $\sigma_{00} = e^2/(\pi h) \approx (81093.0)^{-1}$ . 注意二维

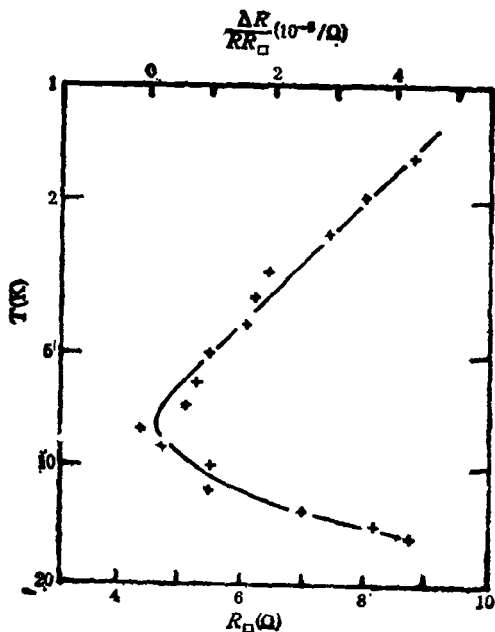


图 2 金属膜的电阻随温度的变化(实线为引导视线用<sup>[4]</sup>)

电导与电导率 (电阻与电阻率) 具有相同的量纲. 一般地说, 非弹性散射时间与温度的幂次成反比,  $\tau_1 \propto T^{-2}$ , 故弱局域化效应导致电阻在低温下对数上升.

这种现象在半导体电子反演层及金属薄膜中观察到<sup>[4,5]</sup>. 前者是严格的二维系统, 后者在厚度小于非弹性扩散长度  $L_1 = (D\tau_1)^{1/2}$  时可以看作二维, 这里  $D = v_F \tau_0/3$  为扩散常数. 图 2 是金属薄膜的电阻-温度曲线, 可以看出它们符合对数关系<sup>[6]</sup>.

但是, 这种关系还可能由另一个机理电子-电子相互作用导致. 其修正项为

$$\Delta\sigma = -\sigma_{00}(1-F)\ln T, \quad (5)$$

这里  $F (< 1)$  是与库仑屏蔽有关的常数. 因此, 测量  $R-T$  关系是无法区别这两种效应的.

## 二、弱局域化磁致电阻

既然弱局域化现象起源于两个时间反演闭合路径的电子波的干涉, 改变它们的相对相位必将影响其结果. 施加垂直于二维平面的磁场, 图 2 中的两电子波的相位则为

$$\left. \begin{aligned} \Delta\phi' &= 2\pi e/h \oint A \cdot dr = 2\pi e/h \iint B \cdot ds' = +2\pi\Phi/\Phi_0, \\ \Delta\phi'' &= 2\pi e/h \oint'' A \cdot dr = 2\pi e/h \iint B \cdot ds'' = -2\pi\Phi/\Phi_0, \end{aligned} \right\} (6)$$

这里  $A$  为磁矢势,  $\Phi$  是回路所围的磁通,

$$\Phi_0 = h/e$$

是磁通量子. 因此, 在原点找到电子的几率为

$$\begin{aligned} |A_+ + A_-|^2 &= |A \exp(i2\pi\Phi/\Phi_0) + A \exp(-i2\pi\Phi/\Phi_0)|^2 \\ &= 2A[1 + \cos(\pi\Phi/\Phi_0)]. \end{aligned} \quad (7)$$

如果电子扩散的路径受到一定限制, 如圆筒形薄膜、小圆环, 各路径所围的磁通一致, 样品的磁致电阻将随磁场振荡<sup>[7-9]</sup>.

但是, 在一般的薄膜中电子可能沿各种路径回到原点. 由于回路所围的面积和形状不同, 不存在振荡现象. 在一定的磁场下, 那些面积

较大的回路（粗略地说，所围的磁通大于  $\Phi_0$ ），由于相位差不同，其结果互相抵消。这使得那些回路对弱局域化没有贡献，而导致电阻下降，即负磁致电阻。

### 三、自旋散射对磁致电阻的影响

在上述的讨论中我们没有涉及电子的自旋态。实际上，电子被散射时其自旋波函数也要发生变化。一般有两种情形：一种是电子被磁性杂质散射时的自旋反向（spin-flipping）；另

一种是通过自旋轨道相互作用（spinorbit interaction）使电子的自旋无规化。前者破坏了图 1 所示的时间反演对称性，其效果与非弹性散射相似。磁性散射的特征时间为  $\tau_s$ 。自旋轨道相互作用的结果是比较微妙的。电子自旋取向的无规化使得 (3) 式中的干涉项的贡献为

$$A'A''^* + A'^*A'' = -|A|^2 \quad (8)$$

这导致在零点找到电子的几率为不考虑干涉时的一半<sup>[1]</sup>。在较强的自旋轨道相互作用存在时，电子的漂移比经典粒子要快，因此也称之为弱反局域化（weak antilocalization）。

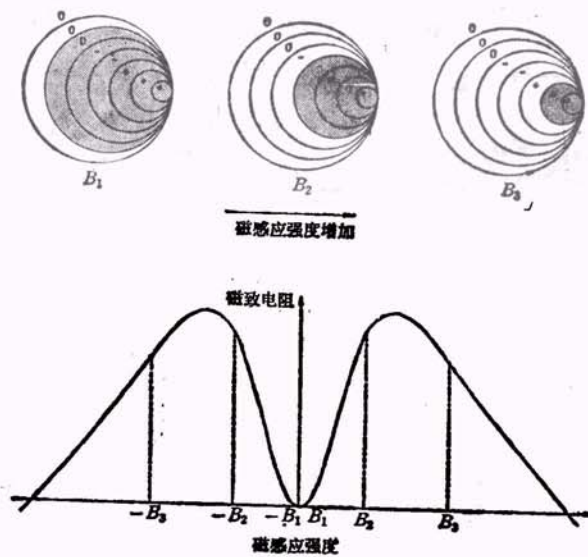


图 3 在考虑自旋散射及非弹性散射时的弱局域化磁致电阻  
图上部为一系列包围不同面积的回路，阴影部分表示在该磁场下仍具有干涉效应的回路；图下部为相应的电阻-温度曲线

我们定性地描述弱局域化磁致电阻于图 3<sup>[10]</sup>。为了简单起见，我们用一个圆表示许多包围相同面积的各种可能回路。假设  $\tau_{s0} < \tau_i$ 。在很小的磁场  $B_1$  下，标记“+”的小圆表示导致弱局域化的回路；标记“-”导致弱反局域化；标记“0”由于相位无规而没有贡献。当磁场增大到  $B_2$  时，那些标记“-”的回路所围的磁通超过  $\Phi_0$ 。相位的调制削弱了反局域化的贡献，导致磁致电阻的上升。当磁场进一步增大时，减小了局域化回路的贡献。当  $B = B_3$  时，磁致电阻又随着磁场增大下降。因此，对于  $\tau_{s0} < \tau_i$  的系统，磁致电阻的特征曲线如图 3 下半部分所

示。严格的计算给出下列磁致电阻的表达式<sup>[11]</sup>：

$$\sigma(B) = -\sigma_{00}[\phi(0.5 + B_1/B) - \phi(0.5 + B_2/B) + 0.5\phi(0.5 + B_3/B) - 0.5\phi(0.5 + B_4/B)], \quad (9)$$

其中

$$\begin{aligned} B_1 &= B_0 + B_{s0} + B_s, \\ B_2 &= 4B_{s0}/3 + 2B_s/3 + B_i, \\ B_3 &= 2B_i + B_s, \\ B_4 &= 4B_{s0}/3 + 2B_s/3 + B_i. \end{aligned}$$

$\phi(x)$  是特殊函数， $B_n = h/cD\tau_n$  为各种弛豫时间所对应的特征磁场。图 4 的实线为实验测得的镁薄膜的磁致电阻。选择适当的弛豫时间，

就可以使理论计算曲线符合实验结果. 因此, 弱

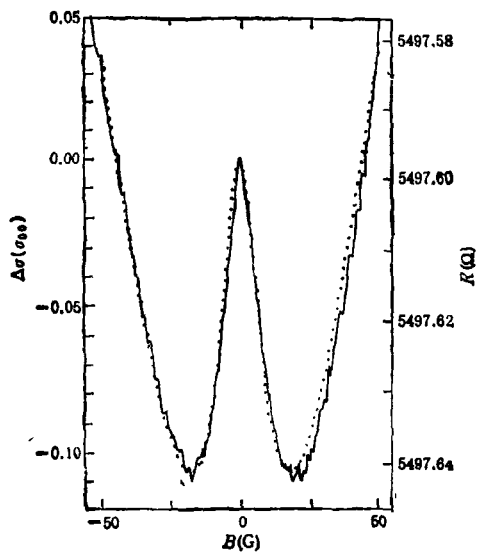


图4 金属镀膜膜的电阻-磁场关系  
实线为实验测量曲线; 点线根据下列参数计算得到:  
 $B_0 = 0, B_{10} = 4.75\text{G}, B_1 = 2.47\text{G}, B_2 = \infty$

(上接第 596 页)

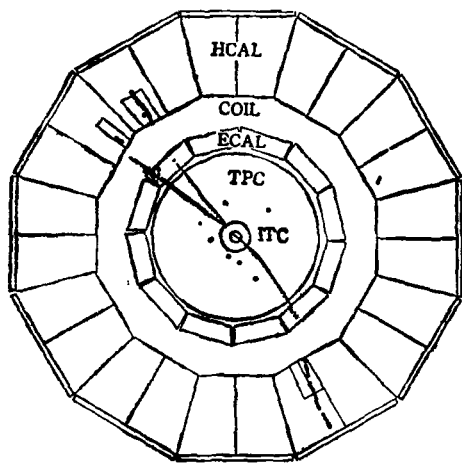


图7 一个典型的  $e^+e^- \rightarrow \tau^+\tau^- (\tau^+ \rightarrow \pi^+\pi^-\pi^0, \tau^- \rightarrow \mu\nu)$  衰变径迹图

表 2

衰变方式	$P_1$	$B_1$	$\Gamma_1(\text{MeV})$
$Z^0 \rightarrow e^+e^-$	$0.0470 \pm 0.006$	$0.0322 \pm 0.0021$	$86.4 \pm 7.5$
$Z^0 \rightarrow \mu^+\mu^-$	$0.0433 \pm 0.006$	$0.0297 \pm 0.0045$	$79.7 \pm 13.0$
$Z^0 \rightarrow \tau^+\tau^-$	$0.0485 \pm 0.0056$	$0.0399 \pm 0.0039$	$88.8 \pm 10.6$

MeV—15GeV (95% 置信度) 能量范围内被排除<sup>1)</sup>, 轻标量 Higgs 玻色子和最小超对称标准

局域化磁致电阻常被用来研究传导电子的弛豫现象。

[1] G. Bergmann, *Phys. Rep.*, **107** (1984), 1.  
[2] P.W. Anderson, et al., *Phys. Rev. Lett.*, **43** (1979), 718.  
[3] P.A. Lee, and T.V. Ramakrishnan, *Rev. Mod. Phys.*, **57**(1985), 287.  
[4] D.J. Bishop, et al., *Phys. Rev. Lett.*, **44**(1979), 1153.  
[5] G.J. Dollan, and D.D. Osheroff, *Phys. Rev. Lett.*, **43**(1979), 721.  
[6] S.S. Yan, et al., *Chinese Phys. Lett.*, **4**(1987), 365.  
[7] D. Yu Sharvin, and Yu V. Sharvin, *Zh. Eksp. Teor. Fiz.*, **34**(1981), 285.  
[8] R.A. Webb, et al., *Phys. Rev. Lett.*, **54**(1985), 2696.  
[9] V. Chandrasekhar, et al., *Phys. Rev. Lett.*, **55** (1985), 1610.  
[10] S. Wang, and P.E. Lindelof, *J. Low Temp. Phys.*, **71**(1988), 403.  
[11] S. Hikami, et al., *Prog. Theo. Phys.*, **63**(1980), 707.

模型所标量 Higgs 玻色子在 0—38GeV 能量范围内被排除<sup>2)</sup>; 给出超对称粒子被排除的范围<sup>3)</sup>; 用约 20000 个  $Z^0$  粒子精确测得  $M_Z = (91.182 \pm 0.026 \text{exp} \pm 0.030 \text{beam}) \text{GeV}$ ,  $\Gamma_Z = (2.541 \pm 0.056) \text{GeV}$ ,  $\sigma_{had}^0 = (41.4 \pm 0.8) \text{nb}$  和中微子代数

$$N_\nu = 3.01 \pm 0.15_{\text{exp}} \pm 0.05_{\text{th}}$$

等<sup>4)</sup>; 基于 11550 个事例得 t 夸克的质量下限为  $M_t > 45.8 \text{GeV}$ ,  $M_b > 46.0 \text{GeV}$ , 第四代中微子的质量下限为  $M_\nu > 42.7 \text{GeV}$ , 不稳定重中性轻子的质量下限为  $45.7 \text{GeV}$ <sup>5)</sup>; 激发轻子  $e^*$ ,  $\mu^*$ ,  $\tau^*$  的质量下限分别为 44.6, 44.2 和  $41.2 \text{GeV}$ <sup>6)</sup>.

[1] 谢一闻, 物理, **13-10**(1984), 577.  
[2] 吴为民, 张家铨, 高能物理, **3**(1984), 27.  
[3] 王孝良等, 核电子学与核探测技术, **10-2**(1990), 70.  
[4] D. Decamp et al., *Phys. Lett. B*, **231-4** (1989), 519.  
[5] D. Decamp et al., *Phys. Lett. B*, **234-1,2**(1990), 209.

1) D. Decamp et al., CERN-EP/89-157 (1989).  
2) D. Decamp et al., CERN-EP/89-168.  
3) D. Decamp et al., Draft of ALEPH, 20, Nov. (1989).  
4) D. Decamp et al., CERN-EP/89-169(1989).  
5) D. Decamp et al., CERN-EP/89-165(1989).  
6) D. Decamp et al., CERN-EP/89-167(1989).